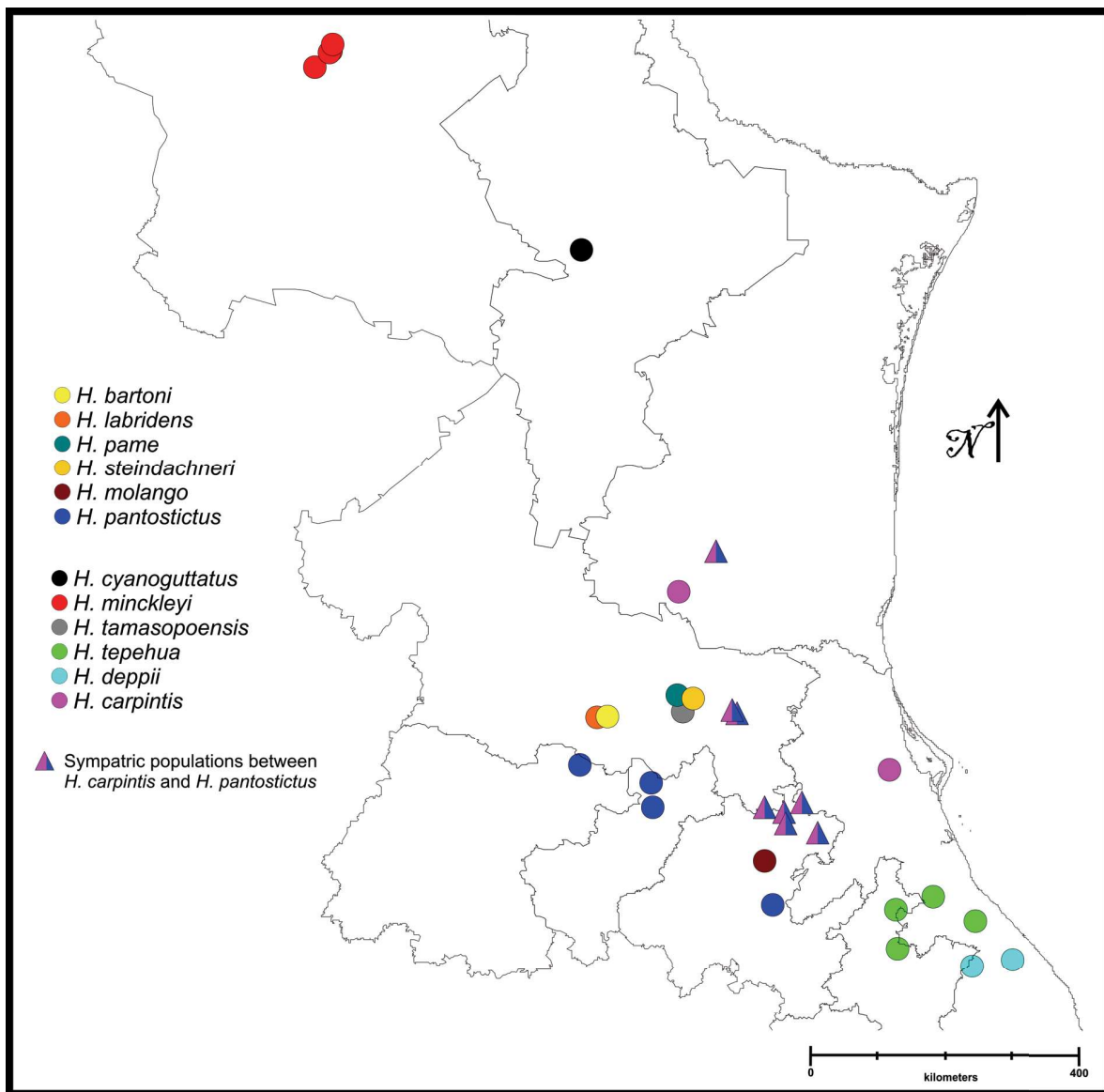


Winemiller, K. O., & Kelso-Winemiller, L. C. (2003). Food habits of tilapiine cichlids of the Upper Zambezi River and floodplain during the descending phase of the hydrologic cycle. *Journal of Fish Biology*, 63(1), 120-128. DOI:10.1046/j.1095-8649.2003.00134.x

XLSTAT, A. (2013). *Data analysis and statistics software for Microsoft Excel*. New York, USA: Addinsoft. Retrieved from <https://www.xlstat.com/es/>

## DIGITAL APPENDIX 1

Map of the localities used in this study, number of specimens analyzed, localities names and catalog voucher



*Herichthys minckleyi*

México: ENCB-P P2798 (n = 5) [Cuatro Ciénegas, Coah.]; P3694 (n = 5) [Poza las Becerras, Coah.]; P2607 (n = 5) [Poza las Becerras, Coah.]; P2109 (n = 5) [Poza las Becerras, Coah.].

*Herichthys tamasopoensis*

México: ENCB-P P6114 (n=5) [Río Tamasopo, SLP]; P6010 (n=3) [Cascadas de Tamasopo, SLP]; P6443 (n=5) [Cascadas de Tamasopo, SLP]; P6547 (n=4) [Cascadas de Tamasopo, SLP].

*Herichthys tepehua*

México: ENCB-P P2020 (n=3) [Río Cazones, Ver.]; P6363 (n=6) [Piedras Negras, Pue.]; P6368 (n=5) [Arroyo de cañas, Ver.]; P6378 (n=6) [Puente Buenos Aires, Pue.].

*Herichthys deppii*

México: ENCB-P P6370 (n=8) [Poblado Santa Clara en Misantla, Ver.]; P6369 (n=12) [Rancho el Jobo en Tlapacoyan, Ver.].

*Herichthys cyanoguttatus*

México: ENCB-P P3452 (n=10) [Río Salinas en Ciénega de Flores, NL].

*Herichthys carpintis*

México: ENCB-P P5919 (n=10) [Río Claro, SLP]; P4980 (n=10) [Huejutla de Reyes, Hgo.]; P4958 (n=10) [Río San Pedro, Hgo.]; P5999 (n=10) [Llera de Canales, Tamps.]; P5960 (n=9) [Río Valles, SLP]; P5962 (n=10) [Ciudad Valles, SLP]; P4888 (n=8) [Río San Pedro, Hgo.]; P4951 (n=9) [Río Atlapexco, Hgo.]; P5920 (n=10) [Río Claro, Hgo.]; P5985 (n=10) [El Naranjo en Ocampo, Tamps.]; P6440 (n=10) [Camino al Colorado en Ozuluama, Ver.].

*Herichthys pame*

México: ENCB-P P6371 (n=5) [Puente el Ahogado en Tamasopo, SLP]; P6372 (n=3) [Cascadas de Tamasopo, SLP]; P6534 (n=7) [Rascón Mpio. de Tamasopo, SLP]; P6547 (n=3) [Cascadas de Tamasopo, SLP].

*Herichthys steindachneri*

México ENCB-P P3626 (n=4) [Rascón, SLP]; P4823 (n=1) [El Rodeo, SLP]; P4876 (n=1) [Puente Ejido Agua Buena en Tamasopo, SLP]; P4891 (n=1) [Río Tamasopo, SLP]; P6629 (n=5) [Cascadas de Tamasopo, SLP].

*Herichthys labridens*

México: ENCB-P P6016 (n=10) [Puente Plazuela en Río Verde, SLP]

*Herichthys bartoni*

México: ENCB-P P6016 (n=10) [Puente Plazuela en Río Verde, SLP]

*Herichthys pantostictus*

México: ENCB-P P5919 (n=10) [Río Claro, SLP]; P4980 (n=10) [Huejutla de Reyes, Hgo.]; P4958 (n=8) [Río San Pedro, Hgo.]; P5999 (n=9) [Llera de Canales, Tamps.]; P5960

(n=9) [Río Valles, SLP]; P5962 (n=8) [Ciudad Valles, SLP]; P4888 (n=10) [Río San Pedro, Hgo.]; P4951 (n=10) [Río Atlapexco, Hgo.]; P5920 (n=10) [Río Claro, Hgo.]; P5061 (n=10) [Río Manzanares, Gto.]; P5853 (n=10) [Río Conca, Qro.]; P6521 (n=10) [Río Venados, Hgo.]; P6580 (n=10) [Las Adjuntas, Qro.].

## DIGITAL APPENDIX 2

Lower pharyngeal jaws variation of the species included in the genus in *Herichthys*



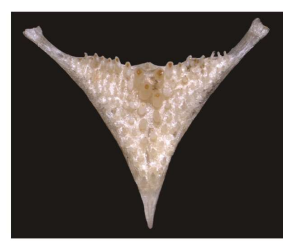
*H. bartoni*



*H. labridens*



*H. pame*



*H. steindachneri*



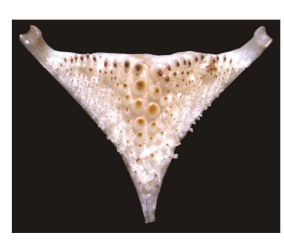
*H. pantostictus*



*H. molango*



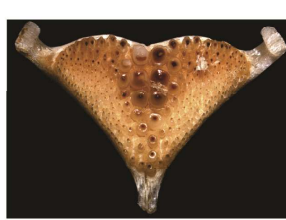
*H. deppii*



*H. tepehua*



*H. cyanoguttatus*



*H. carpintis*



*H. tamasopoensis*



*H. minckleyi*

## DIGITAL APPENDIX 3

CVA and PCA for the sympatric and syntopic species *H. labridens* and *H. bartoni* for the shape of the lower pharyngeal jaw (up), and CVA and PCA for the sympatric species *H. pame*, *H. steindachneri* and *H. tamasopoensis* for the shape of the lower pharyngeal jaw (down)